

Application de la logique de Hoare aux réseaux de régulation génétique avec multiplexes

Maxime FOLSCHETTE

École Centrale de Nantes
Cursus ingénieur : Ei3 Informatique
Cursus Master Recherche : M2 ASP-SPIE

Encadrants :

Olivier ROUX
Morgan MAGNIN

Enjeux et problématique

- ▶ Gène = séquence de l'ADN codant la production d'une protéine
- ▶ Les gènes ne s'expriment pas tous à tout moment / dans toutes les cellules
- ▶ Étudier certains mécanismes de régulation
- ▶ Modéliser les systèmes de gènes

Enjeux et problématique

- ▶ Étude des interactions entre gènes
 - Modéliser les mécanismes de régulation
 - Étude du comportement et de la dynamique
- ▶ Utilisation du modèle
 - Simplification cohérente (discrétisation)
 - Mais explosion combinatoire
 - Difficultés d'analyse
- ▶ Nouvel outil
 - Logique de Hoare
 - **Implémentations**

Plan de la présentation

- ▶ **Modèle de Thomas et logique de Hoare**

 - Réseaux de régulation avec multiplexes
 - Triplets de Hoare et plus faible pré-condition
 - Inférence de paramètres

- ▶ **Implémentation avec Coq**

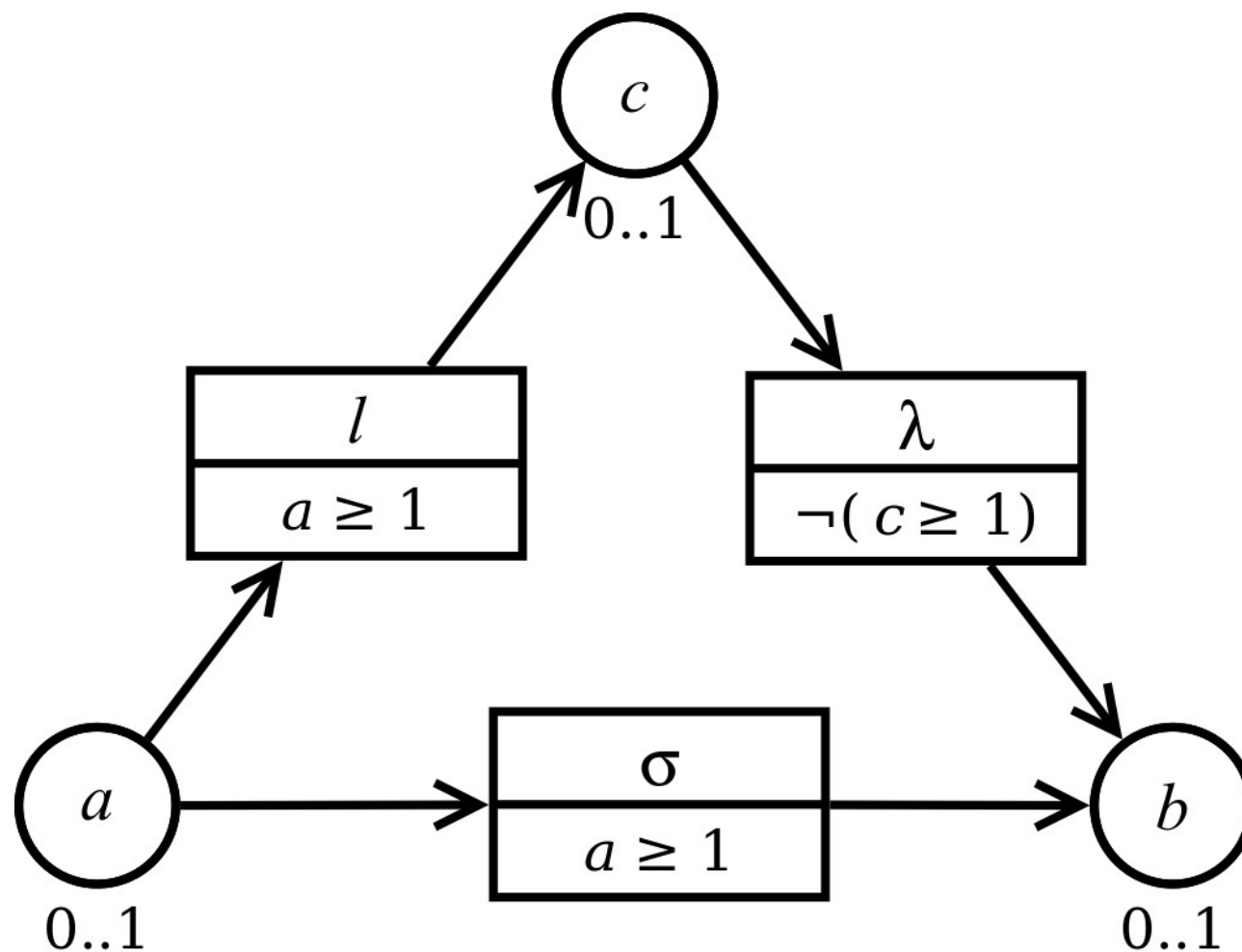
- ▶ **Implémentation avec OCaml**

 - Présentation des langages
 - Implémentation des outils et de la logique
 - Obtention des résultats / Exemples

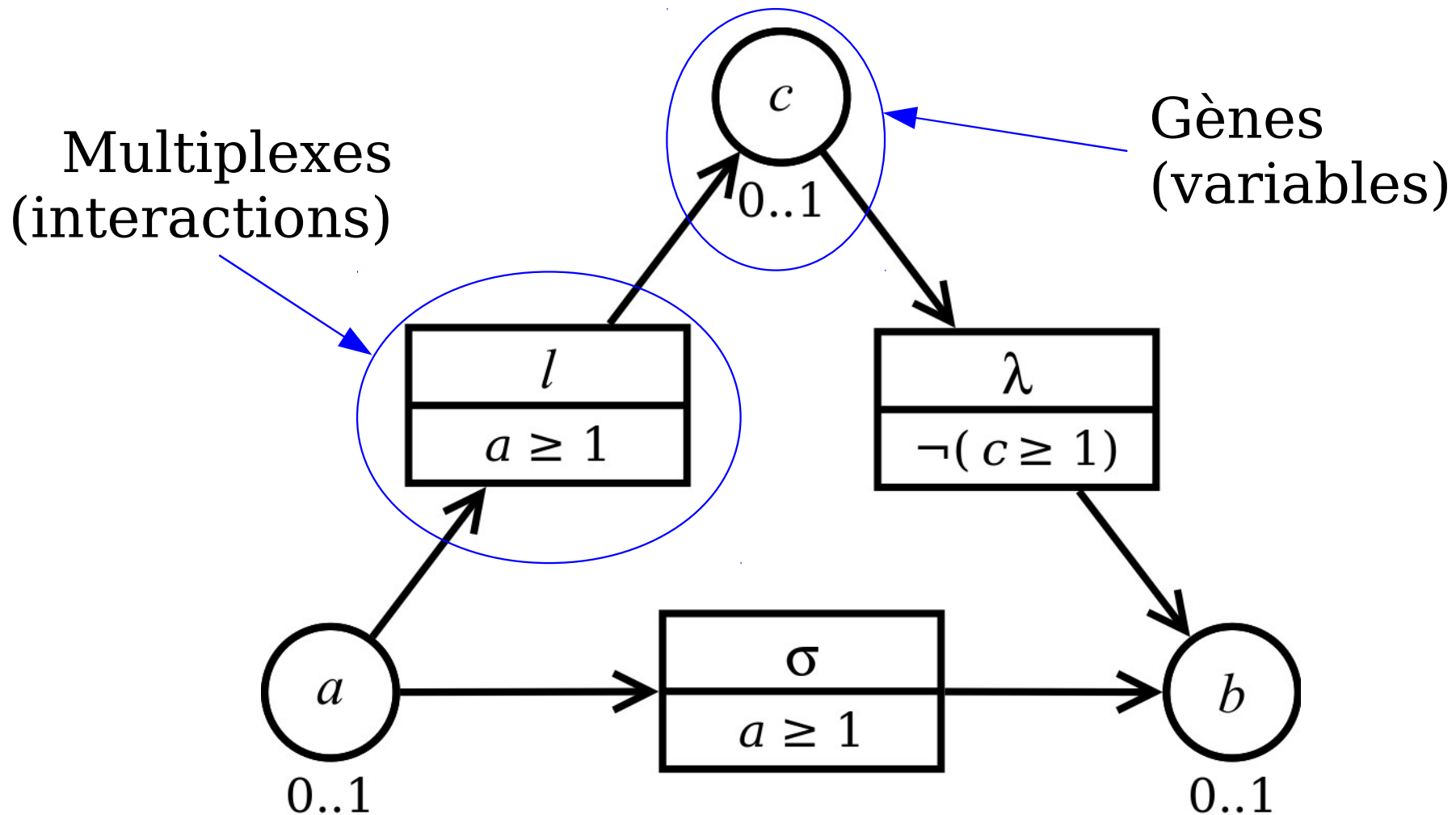
- ▶ **Discussion**

 - Problèmes rencontrés
 - Pistes de développement

Graphe d'interaction [1, 2, 6]



Graphe d'interaction [1, 2, 6]



Paramétrisation [1, 2, 6]

Carte des tendances :

$$\begin{aligned} K : V \times \mathcal{P}(M) &\rightarrow \mathbb{N} \\ (v ; \omega) &\mapsto \mathbf{k}_{v,\omega} \end{aligned}$$

Où : $k_{v,\omega} \leq b_v$ et $\omega \subset G^{-1}(v)$

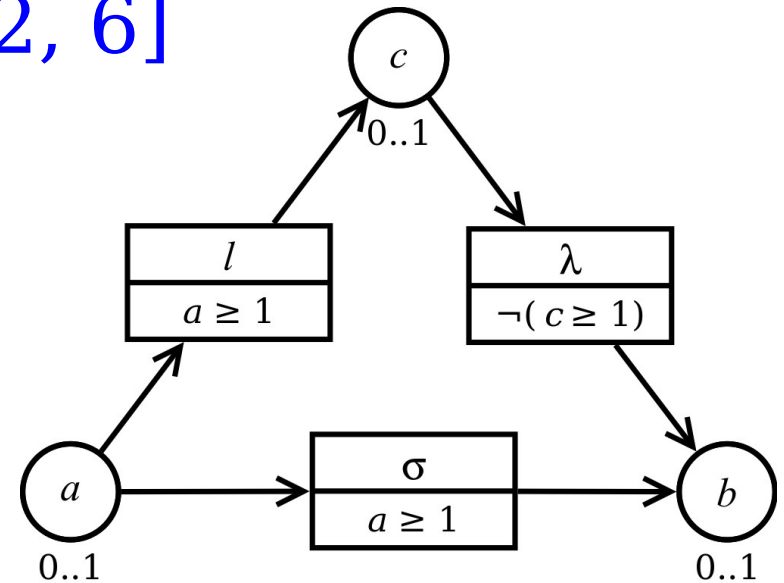
Paramétrisation [1, 2, 6]

Carte des tendances :

$$K : V \times \mathcal{P}(M) \rightarrow \mathbb{N}$$

$$(v ; \omega) \mapsto \mathbf{k}_{v,\omega}$$

Où : $k_{v,\omega} \leq b_v$ et $\omega \subset G^{-1}(v)$



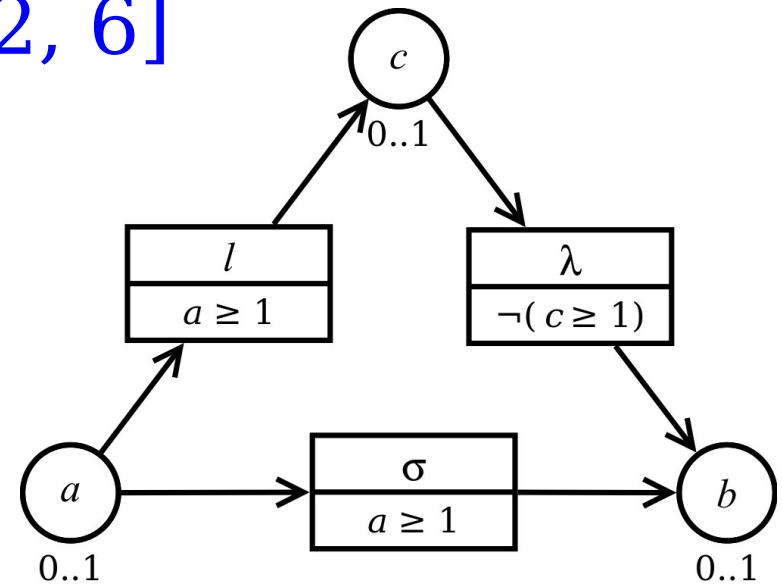
Paramétrisation [1, 2, 6]

Carte des tendances :

$$K : V \times \mathcal{P}(M) \rightarrow \mathbb{N}$$

$$(v ; \omega) \mapsto \mathbf{k}_{v,\omega}$$

Où : $k_{v,\omega} \leq b_v$ et $\omega \subset G^{-1}(v)$



ω	$k_{a,\omega}$
\emptyset	1

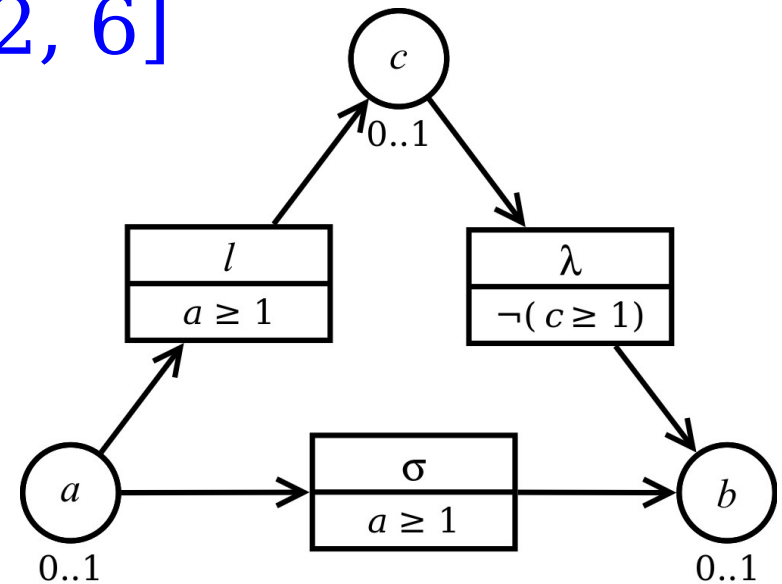
Paramétrisation [1, 2, 6]

Carte des tendances :

$$K : V \times \mathcal{P}(M) \rightarrow \mathbb{N}$$

$$(v ; \omega) \mapsto \mathbf{k}_{v,\omega}$$

Où : $k_{v,\omega} \leq b_v$ et $\omega \subset G^{-1}(v)$



ω	$k_{a,\omega}$
\emptyset	1

ω	$k_{c,\omega}$
\emptyset	0
$\{l\}$	1

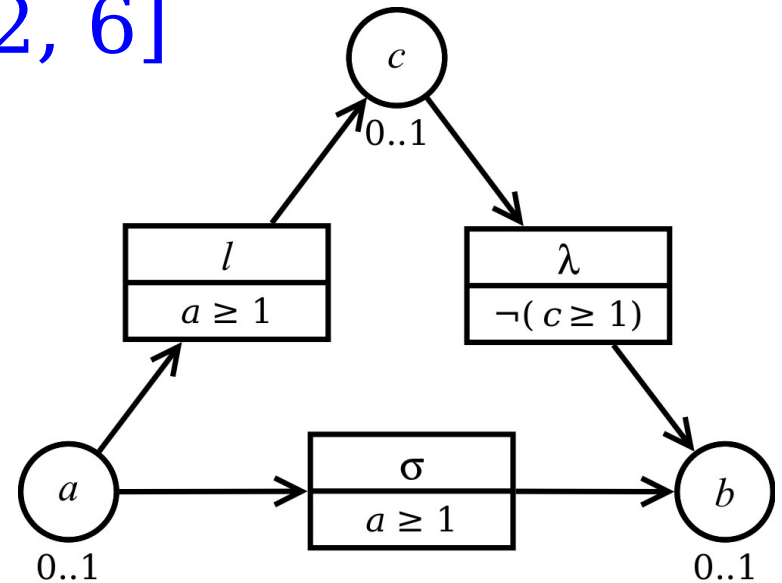
Paramétrisation [1, 2, 6]

Carte des tendances :

$$K : V \times \mathcal{P}(M) \rightarrow \mathbb{N}$$

$$(v ; \omega) \mapsto k_{v,\omega}$$

Où : $k_{v,\omega} \leq b_v$ et $\omega \subset G^{-1}(v)$



ω	$k_{a,\omega}$
\emptyset	1

ω	$k_{b,\omega}$
\emptyset	0
$\{\lambda\}$	1
$\{\sigma\}$	0
$\{\lambda, \sigma\}$	1

ω	$k_{c,\omega}$
\emptyset	0
$\{l\}$	1

Réseau de régulation [1, 2, 6]

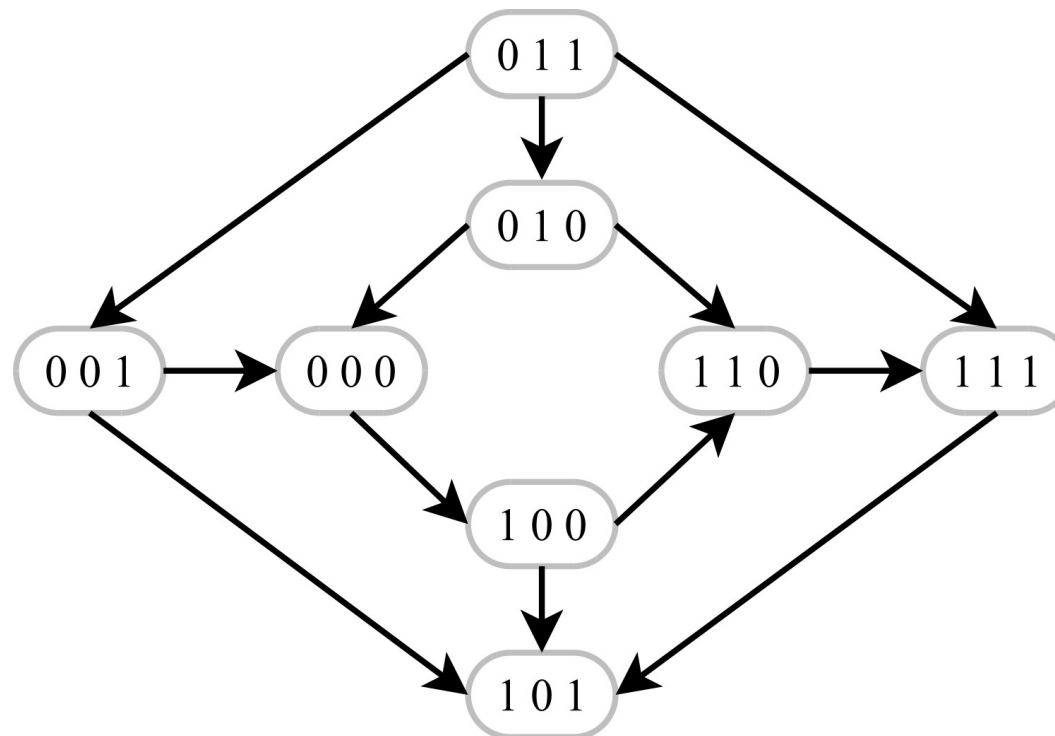
Graphe d'interactions + paramétrisation

- Décrit entièrement la dynamique du système
- Permet le calcul du graphe d'états

Réseau de régulation [1, 2, 6]

Graphe d'interactions + paramétrisation

- Décrit entièrement la dynamique du système
- Permet le calcul du graphe d'états



Réseau de régulation [1, 2, 6]

Graphe d'interactions + paramétrisation

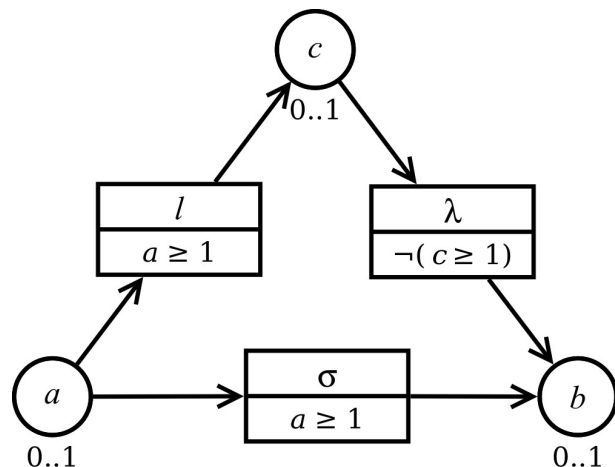
- Décrit entièrement la dynamique du système
- Permet le calcul du graphe d'états

Problème : paramétrisation

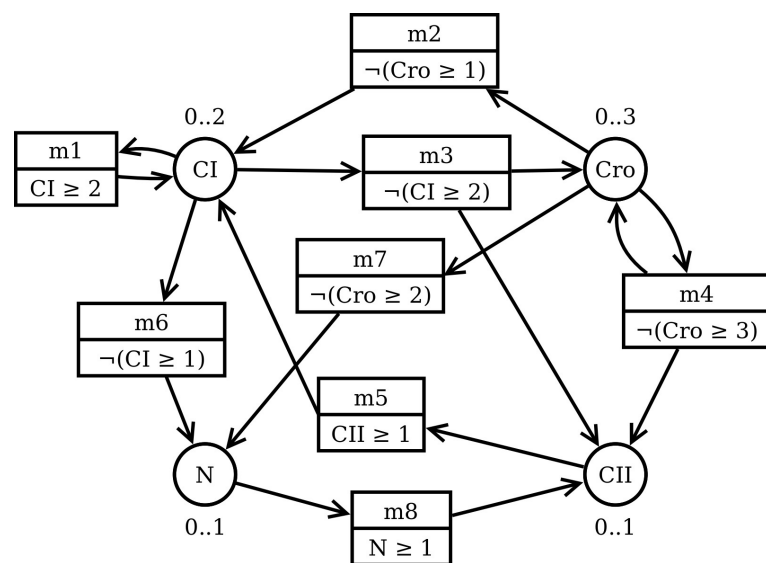
- Nécessaire pour obtenir le bon comportement
- Multiples paramétrisations possibles
- Recherche ⇒ **Explosion combinatoire**

$$N = \prod_v (b_v + 1)^{2^{|G^{-1}(v)|}}$$

Explosion combinatoire



$$N = 128$$



$$N = 6\,879\,707\,136$$

Logique de Hoare [4]

Triplets de Hoare :

$$\{ P \} Q \{ R \}$$

P : Pré-condition

Q : Programme informatique

R : Post-condition

« Si ***P*** est vraie avant exécution de ***Q***,
alors ***R*** sera vraie après exécution de ***Q***. »

Exemple : $\{ y = 4 \} y := y + 1 \{ y = 5 \}$

Axiomes et règles [4]

- **Axiomes** pour fonder la logique
 - Programme vide : $\{ P \} \text{ skip } \{ P \}$
 - Affectation : $\{ P[expr/var] \} var := expr \{ P \}$
- **Règles** pour construire la logique
 - Conséquence
 - Composition de deux programmes
 - Structures Si-Alors-Sinon et Tant_que
 - Quantificateurs existentiel et universel

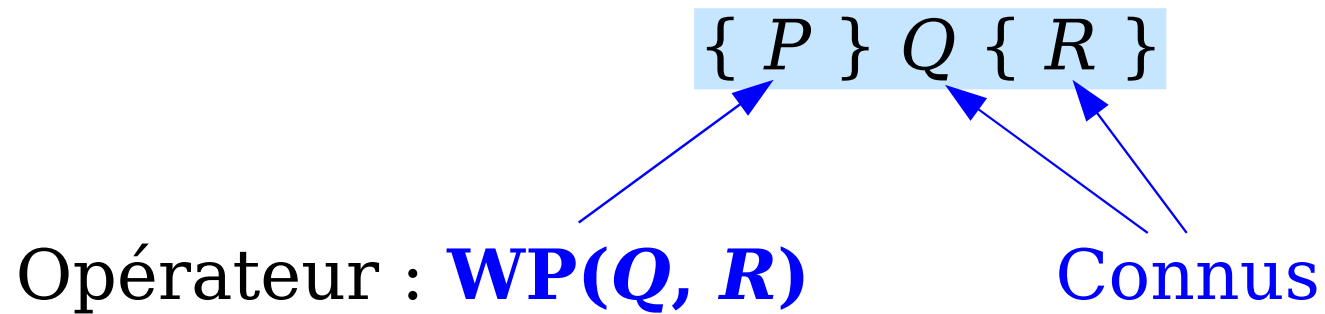
Plus faible pré-condition [5]

$\{ P \} Q \{ R \}$

Connus



Plus faible pré-condition [5]



Plus faible pré-condition [5]

$$\{ P \} Q \{ R \}$$

Opérateur : **WP(Q, R)**

Connus

Nouvelles règles pour cet opérateur :

- Composition
- Affectation

$$\mathbf{WP}(var:=expr, R) \equiv R[expr/var]$$

- Structures Si-Alors-Sinon et Tant_que

→ On connaît exactement la pré-condition d'une affectation

Application au modèle de Thomas

[6]



$\{ P \} Q \{ R \}$

Application au modèle de Thomas

[6]

Assertion sur le niveau
d'expression des gènes

ex : $a = 1 \wedge c = 1$

$\{ P \} Q \{ R \}$

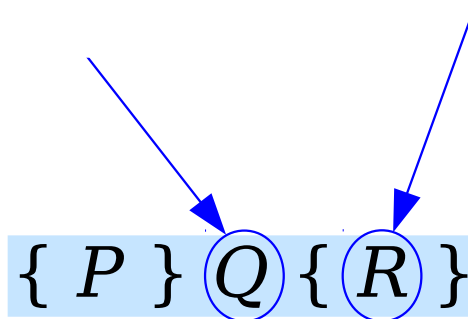


Application au modèle de Thomas

[6]

Assertion sur le niveau
d'expression des gènes

ex : $a = 1 \wedge c = 1$



Application au modèle de Thomas

[6]

Évolution du système :

incrémentations ou
décrémentations

ex : $c+$

→ **Affectations**

Assertion sur le niveau
d'expression des gènes

ex : $a = 1 \wedge c = 1$

{ P } Q { R }

Application au modèle de Thomas

[6]

Évolution du système :

incrémentations ou
décrémentations

ex : $c+$

→ **Affectations**

Assertion sur le niveau
d'expression des gènes

ex : $a = 1 \wedge c = 1$



Application au modèle de Thomas

[6]

Évolution du système :

incrémentations ou
décrémentations

ex : $c+$

→ **Affectations**

Assertion sur le niveau
d'expression des gènes

ex : $a = 1 \wedge c = 1$



Calcul de la plus faible pré-condition

Application au modèle de Thomas

[6]

Évolution du système :

incrémentations ou
décrémentations

ex : $c+$

→ **Affectations**

Assertion sur le niveau
d'expression des gènes

ex : $a = 1 \wedge c = 1$



Calcul de la plus faible pré-condition

⇒ Assertion sur :

- le niveau d'expression des gènes ex : $a = 1 \wedge c = 0$
- la paramétrisation ex : $k_{c,\{l\}} = 1$

Application au modèle de Thomas

[6]

Exemple d'application :

$$\{ \quad ? \quad \} c + \{ a = 1 \wedge c = 1 \}$$

Application au modèle de Thomas

[6]

Exemple d'application :

$$\{ \Phi \wedge a = 1 \wedge c = 0 \} c + \{ a = 1 \wedge c = 1 \}$$

Application au modèle de Thomas

[6]

Exemple d'application :

$$\{ \Phi \wedge a = 1 \wedge c = 0 \} c + \{ a = 1 \wedge c = 1 \}$$

où Φ signifie « On peut incrémenter c », *i.e.* :

- c est en dessous de son plafond
- la paramétrisation de c permet son incrémentation

Application au modèle de Thomas

[6]

Exemple d'application :

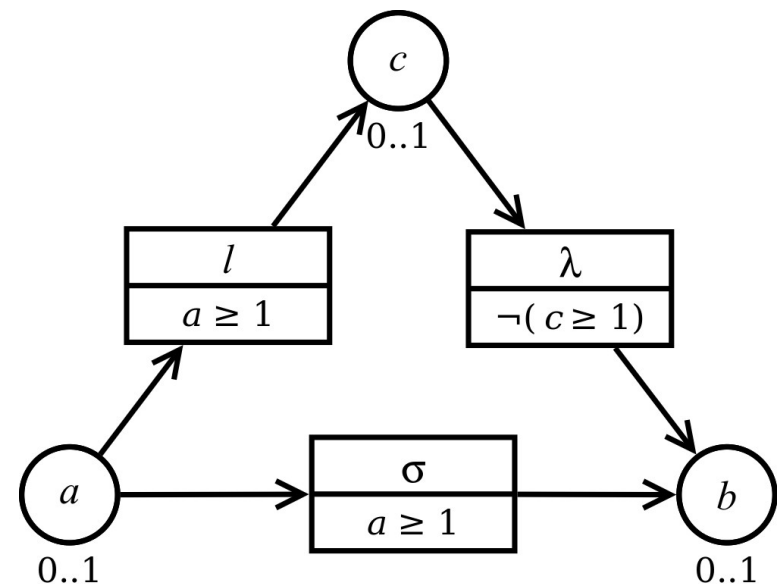
$$\{ \Phi \wedge a = 1 \wedge c = 0 \} c + \{ a = 1 \wedge c = 1 \}$$

$$\Phi \equiv c \geq 0 \wedge c < 1$$

$$\neg \varphi_l \Rightarrow k_{c, \emptyset} > c$$

$$\varphi_l \Rightarrow k_{c, \{l\}} > c$$

$$\text{où : } \varphi_l \equiv (a \geq 1)$$



Application au modèle de Thomas

[6]

Exemple d'application :

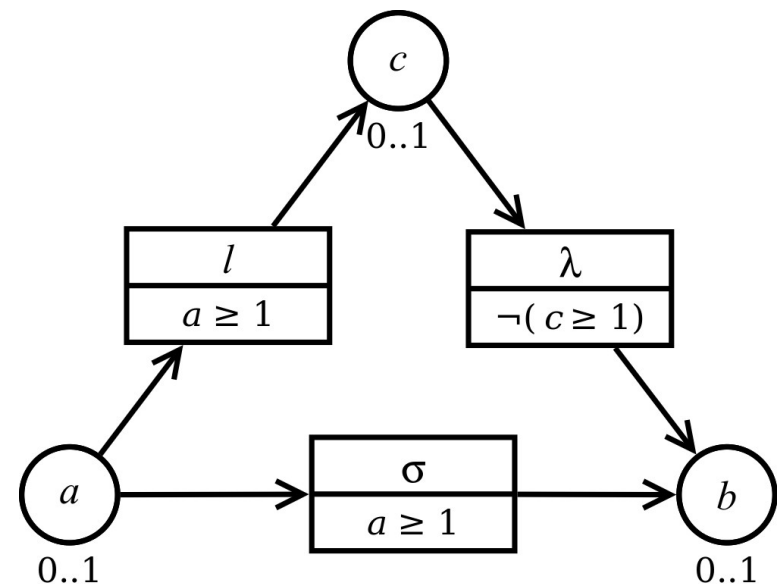
$$\{ \Phi \wedge a = 1 \wedge c = 0 \} c + \{ a = 1 \wedge c = 1 \}$$

$$\Phi \equiv c \geq 0 \wedge c < 1$$

$$\neg \varphi_l \Rightarrow k_{c, \emptyset} > c$$

$$\varphi_l \Rightarrow k_{c, \{l\}} > c$$

où : $\varphi_l \equiv (a \geq 1)$



Application au modèle de Thomas

[6]

Exemple d'application :

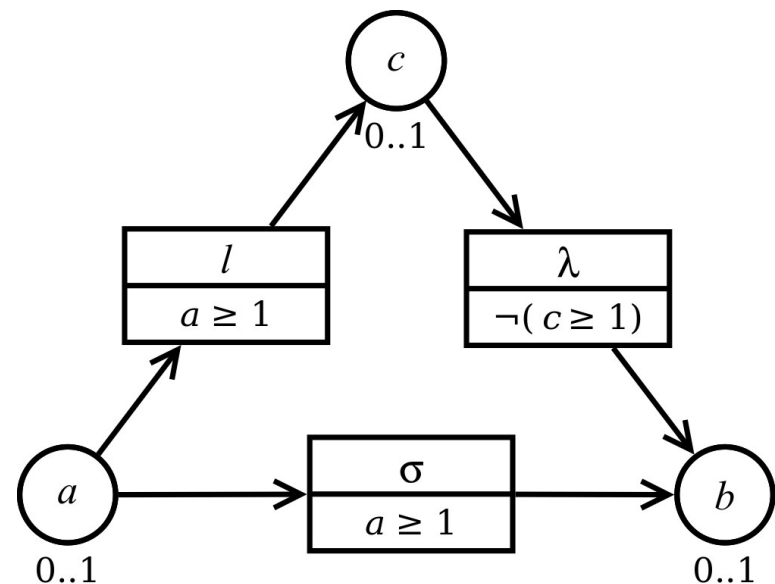
$$\{ \Phi \wedge a = 1 \wedge c = 0 \} c + \{ a = 1 \wedge c = 1 \}$$

$$\Phi \equiv c \geq 0 \wedge c < 1$$

$$\neg \varphi_l \Rightarrow k_{c, \emptyset} > c$$

$$\varphi_l \Rightarrow k_{c, \{l\}} > c$$

où : $\varphi_l \equiv \text{vrai}$



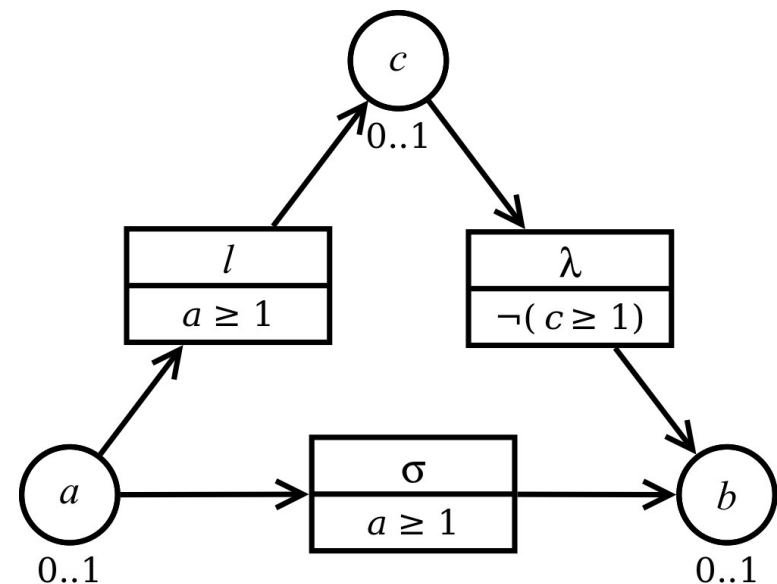
Application au modèle de Thomas

[6]

Exemple d'application :

$$\{ \Phi \wedge a = 1 \wedge c = 0 \} c + \{ a = 1 \wedge c = 1 \}$$

$$\Phi \equiv \begin{array}{l} c \geq 0 \wedge c < 1 \\ \neg \varphi_l \Rightarrow k_{c, \emptyset} > c \\ \varphi_l \Rightarrow k_{c, \{l\}} > c \end{array}$$

où : $\varphi_l \equiv \text{vrai}$ 

Application au modèle de Thomas

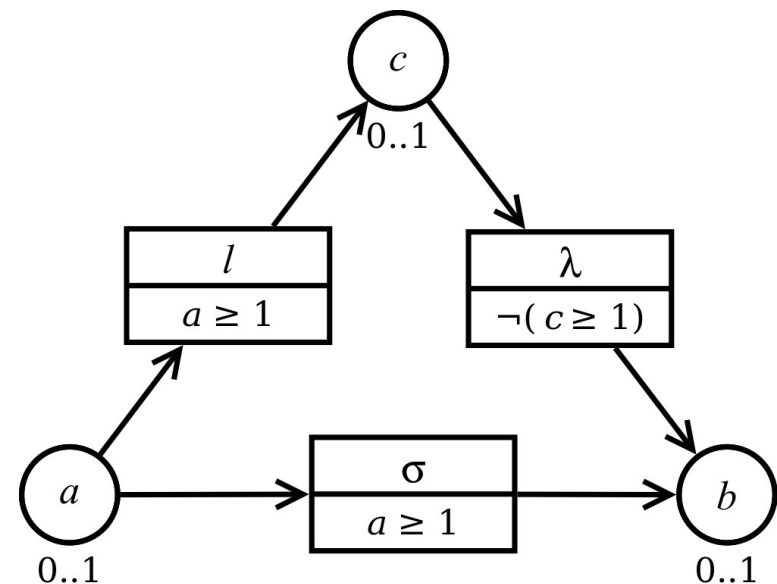
[6]

Exemple d'application :

$$\{ \Phi \wedge a = 1 \wedge c = 0 \} c + \{ a = 1 \wedge c = 1 \}$$

$$\Phi \equiv \begin{array}{l} c \geq 0 \wedge c < 1 \\ \neg \varphi_l \Rightarrow k_{c, \emptyset} > c \\ \varphi_l \Rightarrow k_{c, \{l\}} > c \end{array}$$

où : $\varphi_l \equiv \text{vrai}$



Application au modèle de Thomas

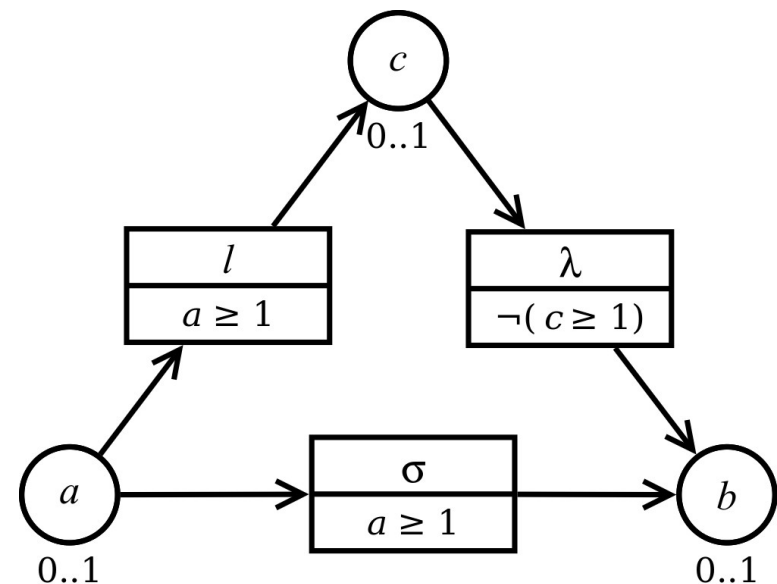
[6]

Exemple d'application :

$$\{ \Phi \wedge a = 1 \wedge c = 0 \} c + \{ a = 1 \wedge c = 1 \}$$

$$\Phi \equiv \begin{array}{l} c \geq 0 \wedge c < 1 \\ \neg \varphi_l \Rightarrow k_{c, \emptyset} > c \\ \varphi_l \Rightarrow k_{c, \{l\}} > 0 \end{array}$$

où : $\varphi_l \equiv \text{vrai}$



Application au modèle de Thomas

[6]

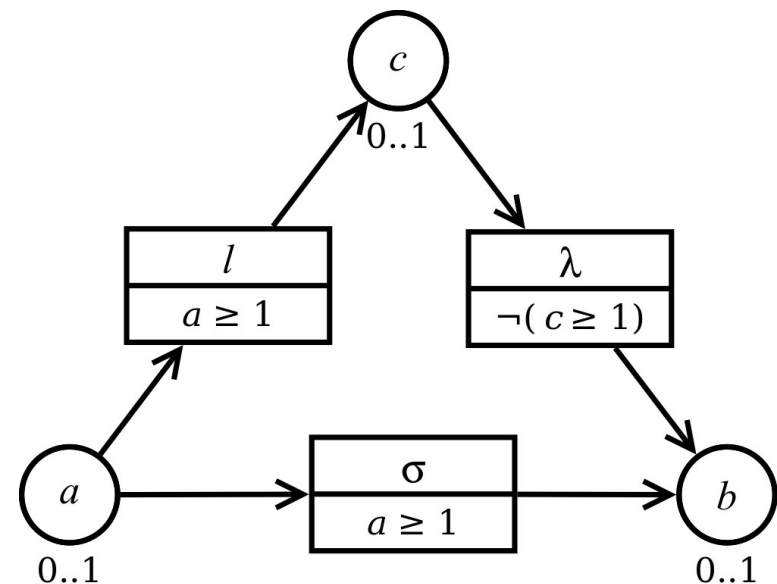
Exemple d'application :

$$\{ \Phi \wedge a = 1 \wedge c = 0 \} c + \{ a = 1 \wedge c = 1 \}$$

$$\Phi \equiv \begin{array}{l} c \geq 0 \wedge c < 1 \\ \neg \varphi_l \Rightarrow k_{c, \emptyset} > c \\ \varphi_l \Rightarrow k_{c, \{l\}} > 0 \end{array}$$

$$\Phi \equiv k_{c, \{l\}} = 1$$

où : $\varphi_l \equiv \text{vrai}$



Discussion

Inconvénient du modèle de Thomas :
Beaucoup de paramétrisations possibles

Utilisation de la logique de Hoare :
permet l'inférence de paramètres biologiques
via l'opérateur de plus faible pré-condition

Avantages :

- Pas de recherche exhaustive
- Dispense de construire le graphe d'états

Présentation de Coq et pistes d'implémentation

Assistant de preuves formelles

- Permet d'effectuer des démonstrations mathématiques de façon formelle

Langage : Gallina

- Programmation fonctionnelle

Bases de l'implémentation :

- [Tutorial on Hoare Logic](#) de Sylvain Boulmé
- [Software Foundations](#) de Benjamin C. Pierce

Présentation de Coq

Définitions inductives :

```
Inductive nat : Type :=  
  | 0 : nat  
  | S : nat -> nat.
```

- Créent de nouveaux types
- Définitions syntaxiques (sans sémantique)
→ la sémantique vient avec l'utilisation

Présentation de Coq

Définitions fonctionnelles :

```
Definition deux : nat :=  
  S (S 0).
```

```
Definition plus_deux (n : nat) : nat :=  
  S (S n).
```

- Créent de nouveaux objets à partir d'objets existants
- Programmation centrée sur le résultat du calcul (et non sur l'impact sur la machine)

Présentation de Coq

Définitions de points fixes :

```
Fixpoint plus (n : nat) (m : nat) : nat :=  
  match n with  
  | 0 => m  
  | S n' => S (plus n' m)  
end.
```

$$n + m \Rightarrow (n - 1) + m \Rightarrow (n - 2) + m \Rightarrow \dots \Rightarrow 0 + m$$

- Permettent des définitions récursives
- Assurance de terminaison requise
(décroissance structurelle d'un argument)

Présentation de Coq

Propriétés

```
Definition p1 : Prop :=  
  2 + 2 = 4.  
Definition p2 : Prop :=  
  2 + 2 = 22.  
Definition p3 : Prop :=  
  forall (n:nat), 0 + n = n.
```

- Propriétés mathématiques
- Sans valeur de vérité (cf [p2](#))
- Une fonction peut retourner une propriété

Présentation de Coq

Preuves :

- Débutées lorsqu'un théorème est formulé :

```
Theorem obvious : forall n:nat,
  plus_deux n = deux -> n = 0.
Proof.
```

- Environnement de preuve :

<code>n : nat</code>		
<code>H : plus_deux n = deux</code>	←	Contexte (hypothèses)
=====		
<code>n = 0</code>	←	Objectif(s)

- Utilisation de tactiques
Développer, Simplifier, Reformuler, Conclure...

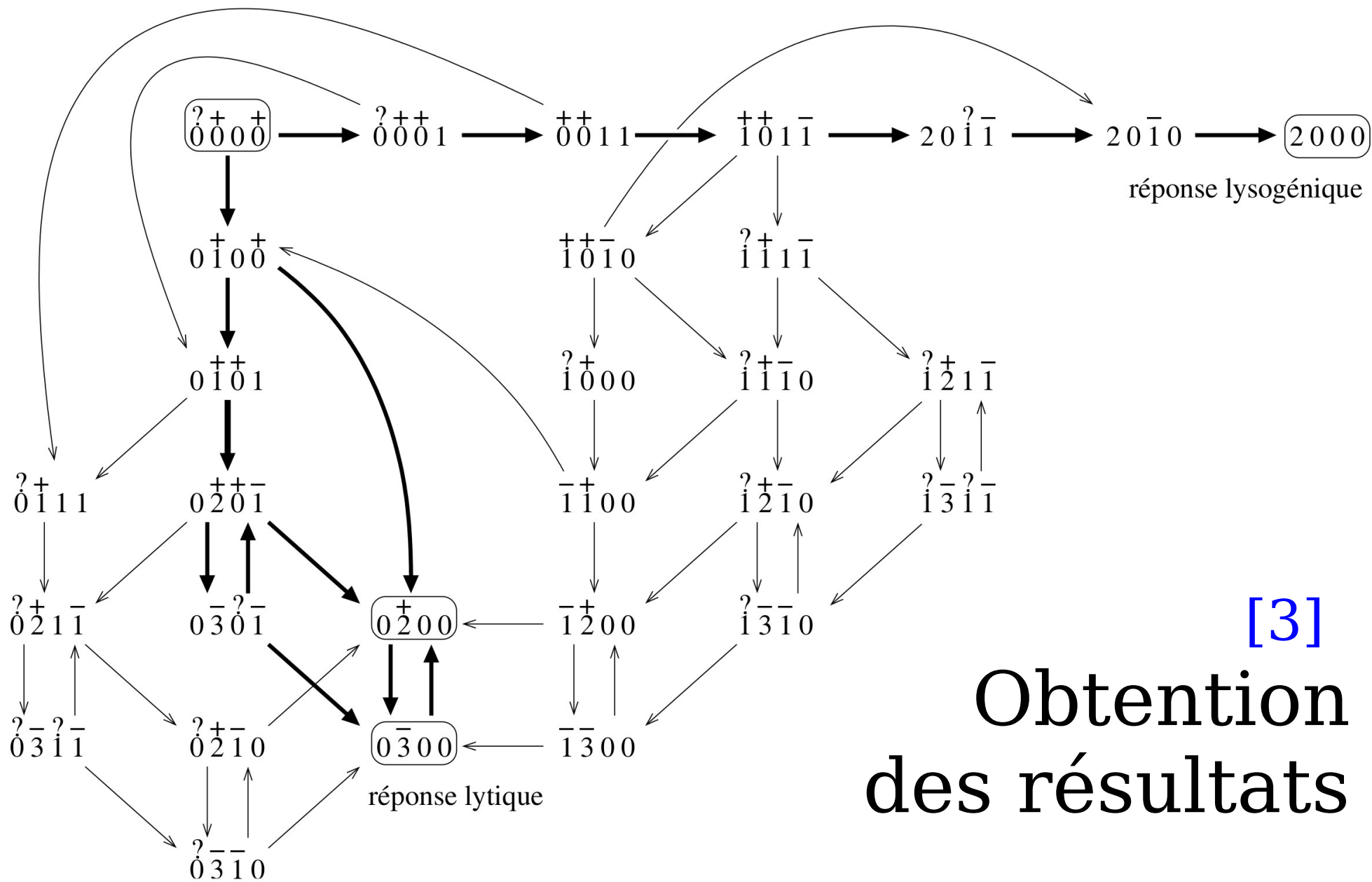
Implémentation avec Coq

Modèle de Thomas

- Variables / multiplexes :
constructeurs (abstraction)
relation d'ordre (utilisation)
- Environnements : **listes** $[1 ; 0 ; 0]$
 $a \quad b \quad c$

Logique de Hoare

- Prédicats : **fonctions** $env \rightarrow Prop$
- Programmes : **définition syntaxique**
- Calcul de précondition : **fonction récursive**
- Résultats : **prédicats**



[3]
Obtention
des résultats

Obtention des résultats [3]

```
(*** Réponse lysogénique du phage lambda ***)

(* Programme *)
Definition prog_lyso :=
  N++ ;; CII++ ;; CI++ ;; CI++ ;; N-- ;; CII--.

(* Post-condition *)
Definition post_lyso := fun (e:env) =>
  (CI = 2 /\ Cro = 0 /\ CII = 0 /\ N = 0).

(* Calcul de la plus faible pré-condition *)
Definition pre_lyso := wp prog_lyso post_lyso.

(* Évaluation *)
Eval compute in pre_lyso.
```

Obtention des résultats

```

((((((CI' + 1 + 1 = 2 /\
  Cro' = 0 /\ CII' + 1 - 1 = 0 /\ N' + 1 - 1 = 0) /\
  1 <= CII' + 1 /\
  CII' + 1 <= 1 /\
  (eval_formula (NEG (ATOMV CI 2))
    [CI' + 1 + 1; Cro'; CII' + 1; N' + 1 - 1] = false /\
  eval_formula (NEG (ATOMV Cro 3))
    [CI' + 1 + 1; Cro'; CII' + 1; N' + 1 - 1] = false /\
  eval_formula (ATOMV N 1)
    [CI' + 1 + 1; Cro'; CII' + 1; N' + 1 - 1] = false ->
  S (K CII []) <= CII' + 1) /\
  (eval_formula (NEG (ATOMV CI 2))
    [CI' + 1 + 1; Cro'; CII' + 1; N' + 1 - 1] = true /\
  eval_formula (NEG (ATOMV Cro 3))
    [CI' + 1 + 1; Cro'; CII' + 1; N' + 1 - 1] = false /\
  eval_formula (ATOMV N 1)
    [CI' + 1 + 1; Cro'; CII' + 1; N' + 1 - 1] = false ->
  S (K CII [m3]) <= CII' + 1) /\
  (eval_formula (NEG (ATOMV CI 2))
    [CI' + 1 + 1; Cro'; CII' + 1; N' + 1 - 1] = false /\
  eval_formula (NEG (ATOMV Cro 3))
    [CI' + 1 + 1; Cro'; CII' + 1; N' + 1 - 1] = true /\
  eval_formula (ATOMV N 1)
    [CI' + 1 + 1; Cro'; CII' + 1; N' + 1 - 1] = false ->
  S (K CII [m4]) <= CII' + 1) /\
  (eval_formula (NEG (ATOMV CI 2))
    [CI' + 1 + 1; Cro'; CII' + 1; N' + 1 - 1] = false /\
  eval_formula (NEG (ATOMV Cro 3))
    [CI' + 1 + 1; Cro'; CII' + 1; N' + 1 - 1] = false /\
  eval_formula (ATOMV N 1)
    [CI' + 1 + 1; Cro'; CII' + 1; N' + 1 - 1] = true ->
  S (K CII [m8]) <= CII' + 1) /\
  (eval_formula (NEG (ATOMV CI 2))
    [CI' + 1 + 1; Cro'; CII' + 1; N' + 1 - 1] = true /\
  eval_formula (NEG (ATOMV Cro 3))
    [CI' + 1 + 1; Cro'; CII' + 1; N' + 1 - 1] = true /\

```

[. . .]

Obtention des résultats

[...]

```
H26 : true = false -> true = false -> 2 <= K CI []
H18 : true = false -> 1 <= K CI [m2]
H53 : 2 <= K CI [m2; m5]
H28 : true = false -> S (K N []) <= 1
H42 : 1 <= K CI [m2; m5]
H14 : true = false -> 1 <= K CII [m3; m4]
H13 : true = false -> true = false -> 1 <= K CI []
H43 : true = false -> true = true -> 2 <= K CI [m5]
H21 : 1 <= K CII [m3; m4; m8]
H35 : true = false -> true = true -> 1 <= K CI [m5]
H34 : S (K N [m7]) <= 1
H17 : 1 <= K N [m6; m7]
H49 : false = true -> S (K CII [m4; m8]) <= 1
H36 : S (K CII [m4]) <= 1
```

[...]

Obtention des résultats

[...]

```
H26 : true = false -> true = false -> 2 <= K CI [ ]
```

```
H18 : true = false -> 1 <= K CI [m2]
```

```
H53 : 2 <= K CI [m2; m5]
```

```
H28 : true = false -> S (K N [ ]) <= 1
```

```
H42 : 1 <= K CI [m2; m5]
```

```
H14 : true = false -> 1 <= K CII [m3; m4]
```

```
H13 : true = false -> true = false -> 1 <= K CI [ ]
```

```
H43 : true = false -> true = true -> 2 <= K CI [m5]
```

```
H21 : 1 <= K CII [m3; m4; m8]
```

```
H35 : true = false -> true = true -> 1 <= K CI [m5]
```

```
H34 : S (K N [m7]) <= 1
```

```
H17 : 1 <= K N [m6; m7]
```

```
H49 : false = true -> S (K CII [m4; m8]) <= 1
```

```
H36 : S (K CII [m4]) <= 1
```

[...]

Obtention des résultats

[...]

```
H26 : true = false -> true = false -> 2 <= K CI []
H18 : true = false -> 1 <= K CI [m2]
H53 : 2 <= K CI [m2; m5]
H28 : true = false -> S (K N []) <= 1
H42 : 1 <= K CI [m2; m5]
H14 : true = false -> 1 <= K CII [m3; m4]
H13 : true = false -> true = false -> 1 <= K CI []
H43 : true = false -> true = true -> 2 <= K CI [m5]
H21 : 1 <= K CII [m3; m4; m8]
H35 : true = false -> true = true -> 1 <= K CI [m5]
H34 : S (K N [m7]) <= 1
H17 : 1 <= K N [m6; m7]
H49 : false = true -> S (K CII [m4; m8]) <= 1
H36 : S (K CII [m4]) <= 1
```

[...]

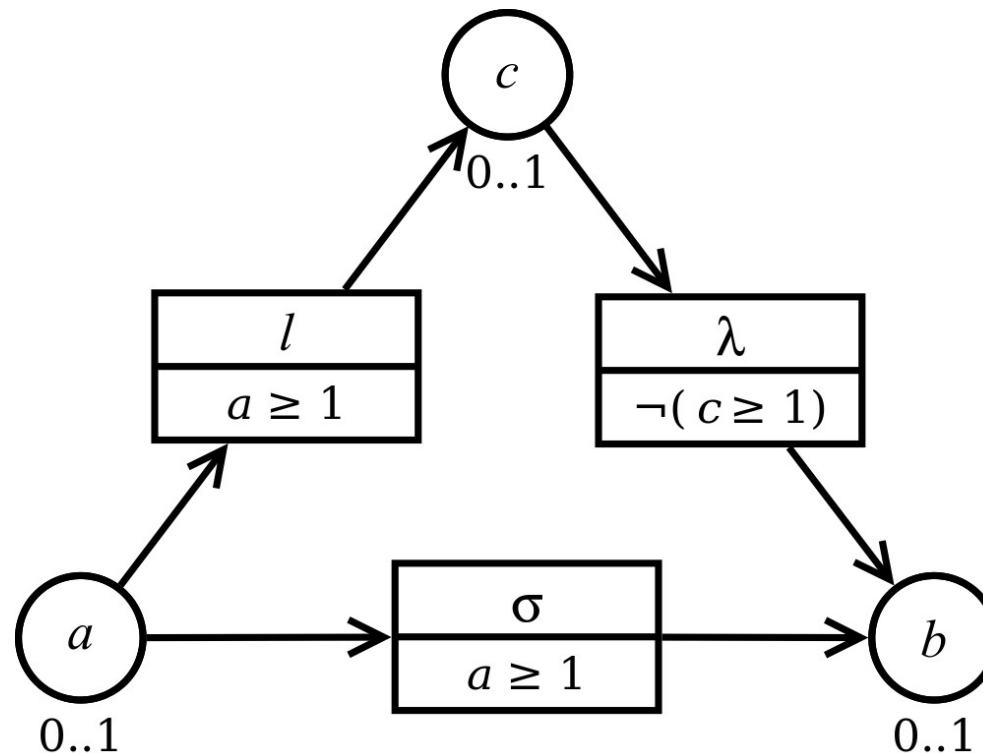
Résultats sur le phage lambda [3]

→ Informations sur la paramétrisation
à partir des chemins « biologiquement réalistes »

$\kappa_{cI}(\emptyset)$	= 0, 1 ou 2		
$\kappa_{cI}(\{cI\})$	= [2]		
$\kappa_{cI}(\{cro\})$	= [0]	● $\kappa_{cro}(\emptyset)$	= [3]
● $\kappa_{cI}(\{cII\})$	= [2]	$\kappa_{cro}(\{cI\})$	= [0]
$\kappa_{cI}(\{cI, cro\})$	= (0), 1 ou 2	● $\kappa_{cro}(\{cro\})$	= (0), (1) ou [2]
$\kappa_{cI}(\{cI, cII\})$	= [2]	$\kappa_{cro}(\{cI, cro\})$	= (0), (1) ou [2]
$\kappa_{cI}(\{cro, cII\})$	= 0, 1 ou 2		
$\kappa_{cI}(\{cI, cro, cII\})$	= (0), 1 ou 2		
$\kappa_{cII}(\emptyset)$	= [0]		
● $\kappa_{cII}(\{cI\})$	= [0]		
$\kappa_{cII}(\{cro\})$	= [0]	● $\kappa_N(\emptyset)$	= [1]
● $\kappa_{cII}(\{N\})$	= [1]	● $\kappa_N(\{cI\})$	= [0]
$\kappa_{cII}(\{cI, cro\})$	= [0]	● $\kappa_N(\{cro\})$	= [0]
$\kappa_{cII}(\{cI, N\})$	= 0 ou 1	$\kappa_N(\{cI, cro\})$	= [0]
$\kappa_{cII}(\{cro, N\})$	= 0 ou 1		
$\kappa_{cII}(\{cI, cro, N\})$	= [0]		

Résultats du papier [6]

But : retrouver les résultats du papier
 « *A Hoare logic to identify parameter values of discrete models of gene regulatory networks* »



Résultats du papier [6]

$$\begin{aligned} \text{I} \quad & \text{— WP } (b+ ; c+ ; b-, a = 1 \wedge b = 0 \wedge c = 1) \\ & \Rightarrow k_{b, \{\sigma, \lambda\}} = 1 \wedge k_{c, \{l\}} = 1 \wedge k_{b, \{\sigma\}} = 0 \end{aligned}$$


Résultats du papier [6]


$$\begin{aligned} \text{I} \quad & \text{— WP } (b+ ; c+ ; b-, a = 1 \wedge b = 0 \wedge c = 1) \\ & \Rightarrow k_{b, \{\sigma, \lambda\}} = 1 \wedge k_{c, \{l\}} = 1 \wedge k_{b, \{\sigma\}} = 0 \end{aligned}$$

Résultats du papier [6]


- I — WP ($b+$; $c+$; $b-$, $a = 1 \wedge b = 0 \wedge c = 1$)
✓ $\Rightarrow k_{b,\{\sigma, \lambda\}} = 1 \wedge k_{c,\{l\}} = 1 \wedge k_{b,\{\sigma\}} = 0$
- II — WP ($b+$; $b-$, Vrai)
 \Rightarrow Faux


Résultats du papier [6]

I — WP ($b+$; $c+$; $b-$, $a = 1 \wedge b = 0 \wedge c = 1$)
 $\Rightarrow k_{b,\{\sigma, \lambda\}} = 1 \wedge k_{c,\{l\}} = 1 \wedge k_{b,\{\sigma\}} = 0$

II — WP ($b+$; $b-$, Vrai)
 \Rightarrow Faux


Résultats du papier [6]


I — WP ($b+$; $c+$; $b-$, $a = 1 \wedge b = 0 \wedge c = 1$)
 $\Rightarrow k_{b,\{\sigma, \lambda\}} = 1 \wedge k_{c,\{l\}} = 1 \wedge k_{b,\{\sigma\}} = 0$


II — WP ($b+$; $b-$, Vrai)
 \Rightarrow Faux

III — { $a = 1 \wedge b = 0 \wedge c = 0 \wedge$
 $k_{b,\{\sigma, \lambda\}} = 1 \wedge k_{c,\{l\}} = 1 \wedge k_{b,\{\sigma\}} = 0$ }
 While ($b < 1$) With (I) Do $\exists(b+, b-, c+, c-)$
 { $b = 1$ } n'est pas un triplet valide

Résultats du papier [6]

I — WP ($b+$; $c+$; $b-$, $a = 1 \wedge b = 0 \wedge c = 1$)
 $\Rightarrow k_{b,\{\sigma, \lambda\}} = 1 \wedge k_{c,\{l\}} = 1 \wedge k_{b,\{\sigma\}} = 0$

II — WP ($b+$; $b-$, Vrai)
 \Rightarrow Faux

III — { $a = 1 \wedge b = 0 \wedge c = 0 \wedge$
 $k_{b,\{\sigma, \lambda\}} = 1 \wedge k_{c,\{l\}} = 1 \wedge k_{b,\{\sigma\}} = 0$ }
 While ($b < 1$) With (I) Do $\exists(b+, b-, c+, c-)$
 { $b = 1$ } n'est pas un triplet valide

Conclusion sur Coq

- Les premiers résultats portent sur des programmes « simples » (sans boucle)
- Les résultats sont en accord avec les résultats obtenus sur papier
- Résultats partiels
- Implémentation incomplète

Présentation d'OCaml et pistes d'implémentation

But : Produire davantage de résultats

Langage de programmation

- Programmation fonctionnelle
- Langage proche de Gallina,
mais plus souple et plus classique

Bases de l'implémentation :

- Travail déjà réalisé avec Coq

Présentation d'OCaml

Définitions :

```
let plus_deux n = n + 2 ;;
```

- Outils puissants
- Plus de souplesse :
 - Exceptions
 - Définitions récursives moins contraignantes
 - Caractéristiques impératives
- Traduction aisée depuis Gallina (syntaxe)

Implémentation avec OCaml

Modèle de Thomas

- Variables / multiplexes : **chaînes de caractères**
- Environnements : **listes d'association**

```
[ ("a", 1) ; ("b", 0) ; ("c", 0) ]
```

Logique de Hoare

- Conditions : **fonctions** env \rightarrow bool
- Programmes : **définition syntaxique**
- Calcul de précondition : **fonction récursive**
- Résultats : **ensemble de solutions**
(environnement + paramétrisation)

Obtention des résultats

```
(* Programme *)
let prog_ex = (* b+ ; c+ ; b- *)
  Iseq (Iseq (Iincr "b", Iincr "c"), Idecr "b") ;;

(* Post-condition *)
let post_ex = fun p e -> get "b" e = 0 ;;

(* Calcul de la plus faible pré-condition *)
let pre_wp_ex = synt_wp prog post ;;
```


Obtention des résultats

```
(* Programme *)
let prog_ex = (* b+ ; c+ ; b- *)
  Iseq (Iseq (Iincr "b", Iincr "c"), Idecr "b") ;;

(* Post-condition *)
let post_ex = fun p e -> get "b" e = 0 ;;

(* Calcul de la plus faible pré-condition *)
let pre_wp_ex = synt_wp prog post ;;

(* Raffinement *)
let pre_ex = fun p e -> (pre_wp_ex p e) &&
  (get "a" e = 1 && get "b" e = 0 && get "c" e = 0) ;;

(* Résolution *)
let solution = solvevp pre_ex ;;
```

Obtention des résultats

16 solutions

a=1; b=0; c=0;

a/{ }=0; b/{ }=0; b/{lambda}=0; b/{lambda,sigma}=1; b/{sigma}=0; c/{ }=0; c/{1}=1;

a=1; b=0; c=0;

a/{ }=1; b/{ }=0; b/{lambda}=0; b/{lambda,sigma}=1; b/{sigma}=0; c/{ }=0; c/{1}=1;

a=1; b=0; c=0;

a/{ }=0; b/{ }=1; b/{lambda}=0; b/{lambda,sigma}=1; b/{sigma}=0; c/{ }=0; c/{1}=1;

a=1; b=0; c=0;

a/{ }=1; b/{ }=1; b/{lambda}=0; b/{lambda,sigma}=1; b/{sigma}=0; c/{ }=0; c/{1}=1;

a=1; b=0; c=0;

a/{ }=0; b/{ }=0; b/{lambda}=1; b/{lambda,sigma}=1; b/{sigma}=0; c/{ }=0; c/{1}=1;

a=1; b=0; c=0;

a/{ }=1; b/{ }=0; b/{lambda}=1; b/{lambda,sigma}=1; b/{sigma}=0; c/{ }=0; c/{1}=1;

a=1; b=0; c=0;

a/{ }=0; b/{ }=1; b/{lambda}=1; b/{lambda,sigma}=1; b/{sigma}=0; c/{ }=0; c/{1}=1;

a=1; b=0; c=0;

a/{ }=1; b/{ }=1; b/{lambda}=1; b/{lambda,sigma}=1; b/{sigma}=0; c/{ }=0; c/{1}=1;

a=1; b=0; c=0;

a/{ }=0; b/{ }=0; b/{lambda}=0; b/{lambda,sigma}=1; b/{sigma}=0; c/{ }=1; c/{1}=1;

a=1; b=0; c=0;

a/{ }=1; b/{ }=0; b/{lambda}=0; b/{lambda,sigma}=1; b/{sigma}=0; c/{ }=1; c/{1}=1;

a=1; b=0; c=0;

a/{ }=0; b/{ }=1; b/{lambda}=0; b/{lambda,sigma}=1; b/{sigma}=0; c/{ }=1; c/{1}=1;

a=1; b=0; c=0;

[. . .]

Résultats du papier [6]

I — WP ($b+$; $c+$; $b-$, $a = 1 \wedge b = 0 \wedge c = 1$)
 $\Rightarrow k_{b,\{\sigma, \lambda\}} = 1 \wedge k_{c,\{l\}} = 1 \wedge k_{b,\{\sigma\}} = 0$

II — WP ($b+$; $b-$, Vrai)
 \Rightarrow Faux

III — $\{ a = 1 \wedge b = 0 \wedge c = 0 \wedge$
 $k_{b,\{\sigma, \lambda\}} = 1 \wedge k_{c,\{l\}} = 1 \wedge k_{b,\{\sigma\}} = 0 \}$
 While ($b < 1$) With (I) Do $\exists(b+, b-, c+, c-)$
 $\{ b = 1 \}$ n'est pas un triplet valide

Résultats du papier [6]

I — WP ($b+$; $c+$; $b-$, $a = 1 \wedge b = 0 \wedge c = 1$)

✓ $\Rightarrow k_{b,\{\sigma, \lambda\}} = 1 \wedge k_{c,\{l\}} = 1 \wedge k_{b,\{\sigma\}} = 0$

(16 solutions)


II — WP ($b+$; $b-$, Vrai)


\Rightarrow Faux

III — $\{ a = 1 \wedge b = 0 \wedge c = 0 \wedge$
 $k_{b,\{\sigma, \lambda\}} = 1 \wedge k_{c,\{l\}} = 1 \wedge k_{b,\{\sigma\}} = 0 \}$

While ($b < 1$) With (I) Do $\exists(b+, b-, c+, c-)$
 $\{ b = 1 \}$ n'est pas un triplet valide

Résultats du papier [6]

I — WP ($b+$; $c+$; $b-$, $a = 1 \wedge b = 0 \wedge c = 1$)
 $\Rightarrow k_{b,\{\sigma, \lambda\}} = 1 \wedge k_{c,\{l\}} = 1 \wedge k_{b,\{\sigma\}} = 0$
 (16 solutions)

II — WP ($b+$; $b-$, Vrai)
 \Rightarrow Faux (aucune solution)

III — $\{ a = 1 \wedge b = 0 \wedge c = 0 \wedge$
 $k_{b,\{\sigma, \lambda\}} = 1 \wedge k_{c,\{l\}} = 1 \wedge k_{b,\{\sigma\}} = 0 \}$
 While ($b < 1$) With (I) Do $\exists(b+, b-, c+, c-)$
 $\{ b = 1 \}$ n'est pas un triplet valide

Résultats du papier [6]

I — WP ($b+$; $c+$; $b-$, $a = 1 \wedge b = 0 \wedge c = 1$)

✓ $\Rightarrow k_{b,\{\sigma, \lambda\}} = 1 \wedge k_{c,\{l\}} = 1 \wedge k_{b,\{\sigma\}} = 0$

(16 solutions)

II — WP ($b+$; $b-$, Vrai)

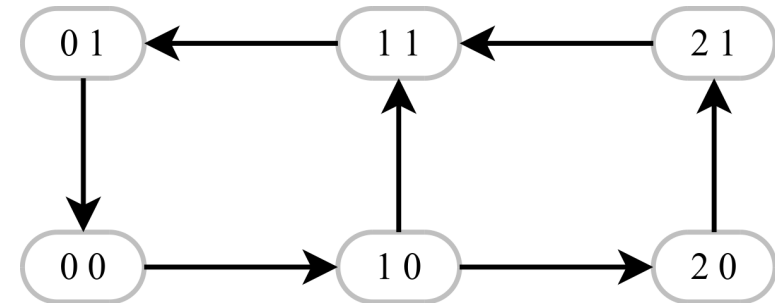
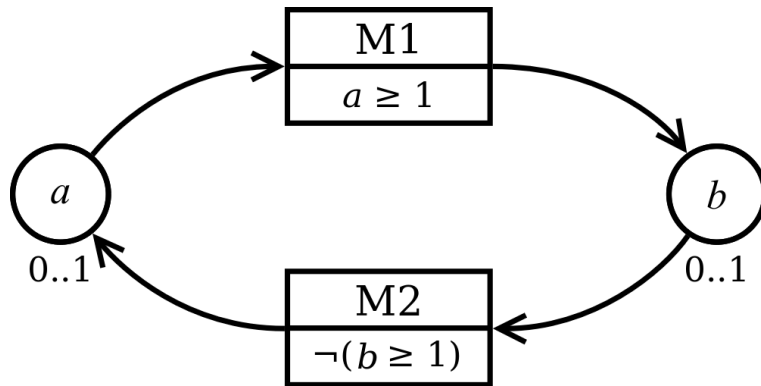
✓ \Rightarrow Faux (aucune solution)

III — $\{ a = 1 \wedge b = 0 \wedge c = 0 \wedge$
 $k_{b,\{\sigma, \lambda\}} = 1 \wedge k_{c,\{l\}} = 1 \wedge k_{b,\{\sigma\}} = 0 \}$

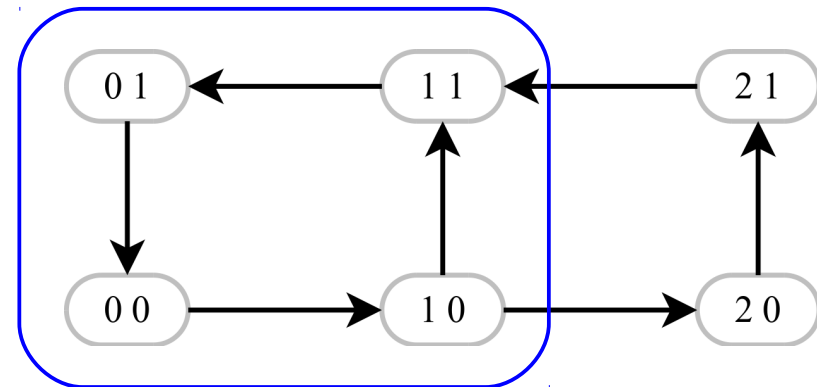
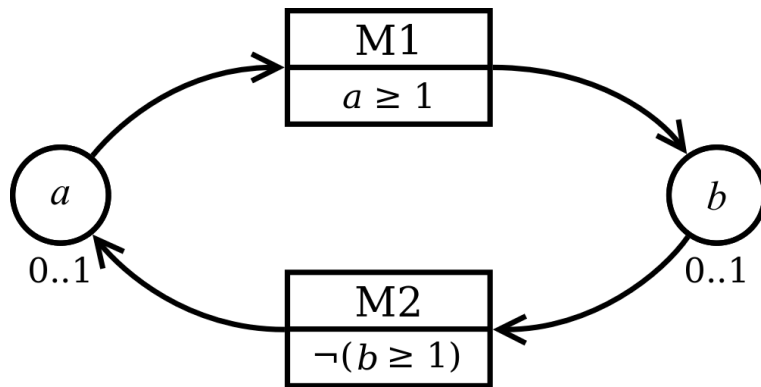
✓ While ($b < 1$) With (I) Do $\exists(b+, b-, c+, c-)$
 $\{ b = 1 \}$ n'est pas un triplet valide

(aucune solution)

Résultats complémentaires [1]

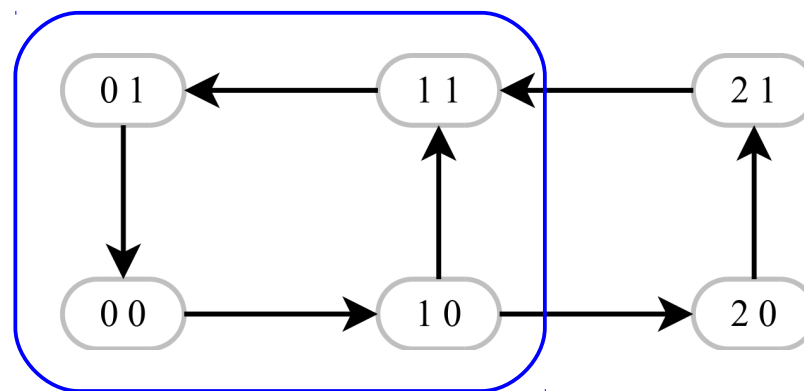
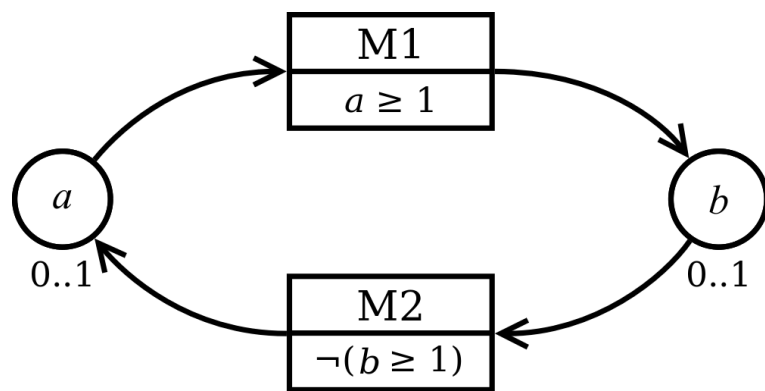


Résultats complémentaires [1]



While (*vrai*) With (*Inv*) Do ($a+$; $b+$; $a-$; $b-$)

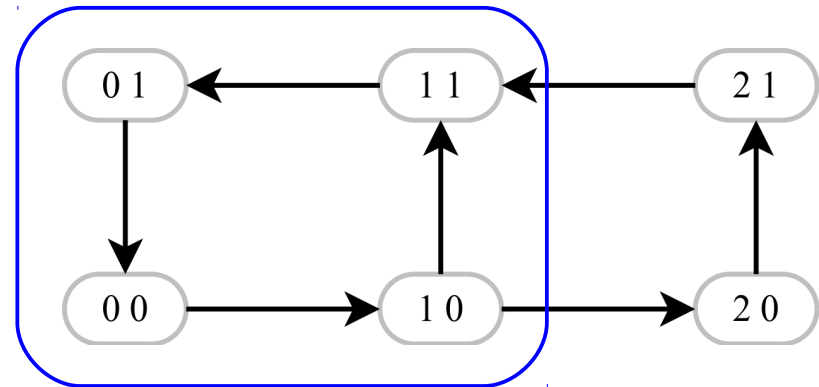
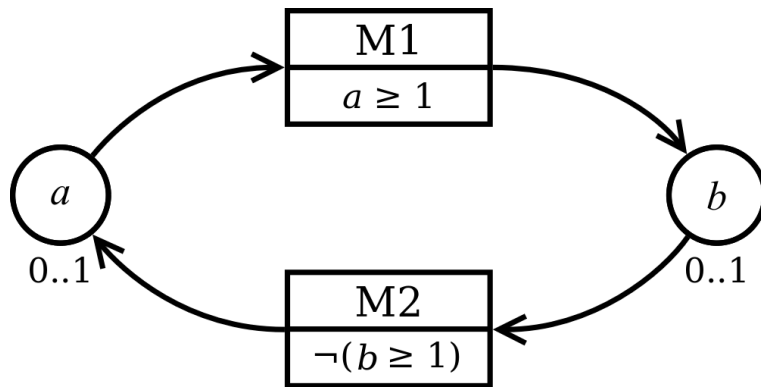
Résultats complémentaires [1]



While (*vrai*) With (*Inv*) Do ($a+$; $b+$; $a-$; $b-$)

- $Inv \equiv vrai$

Résultats complémentaires [1]

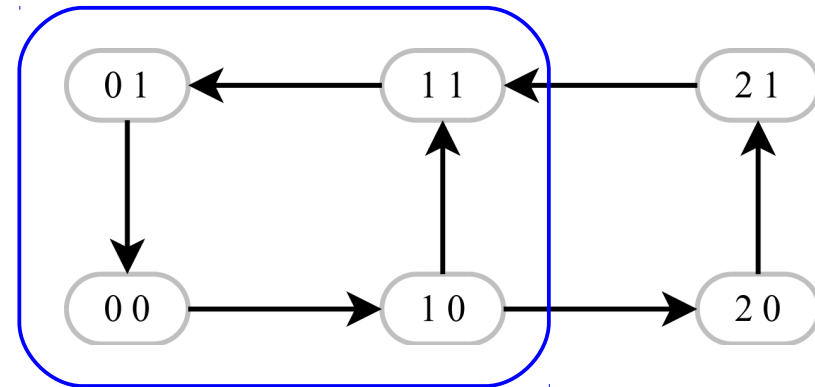
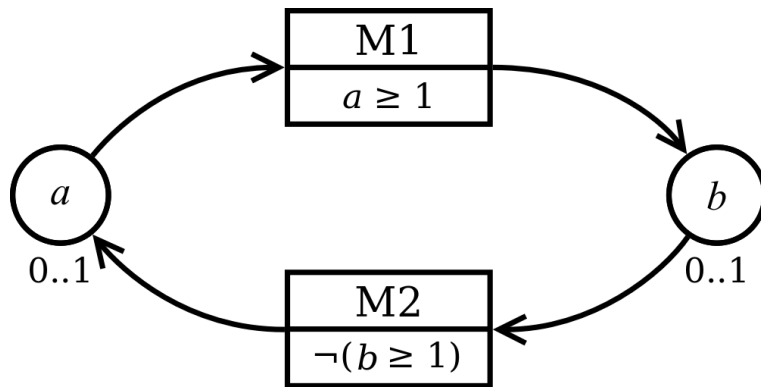


While (*vrai*) With (*Inv*) Do ($a+$; $b+$; $a-$; $b-$)

- $Inv \equiv vrai$

→ aucune solution **X**

Résultats complémentaires [1]



While (*vrai*) With (*Inv*) Do ($a+$; $b+$; $a-$; $b-$)

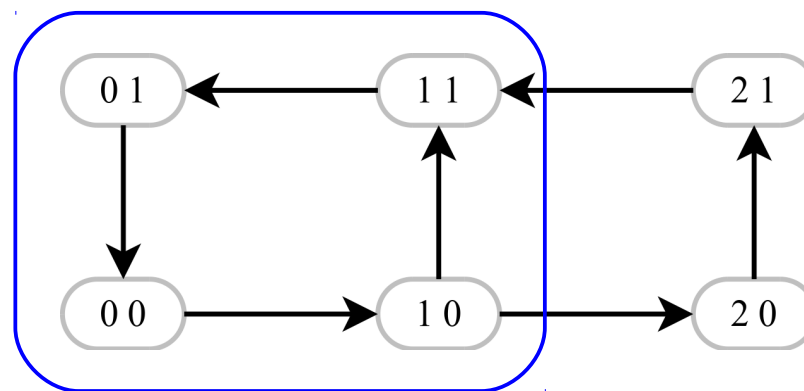
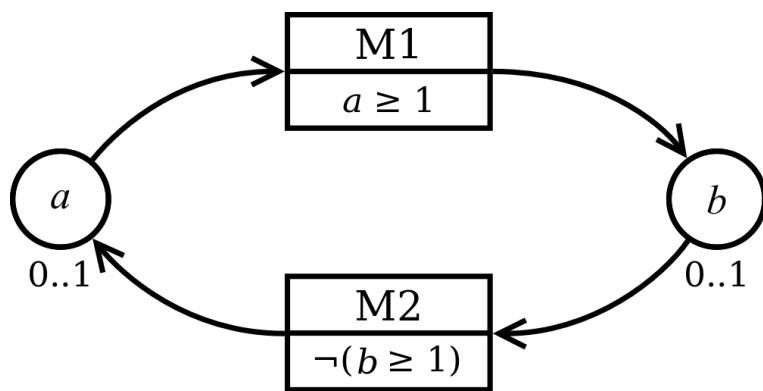
- $Inv \equiv vrai$

→ aucune solution

✗

- $Inv \equiv a = 0 \wedge b = 0$

Résultats complémentaires [1]



While (*vrai*) With (*Inv*) Do ($a+$; $b+$; $a-$; $b-$)

- $Inv \equiv vrai$

→ aucune solution

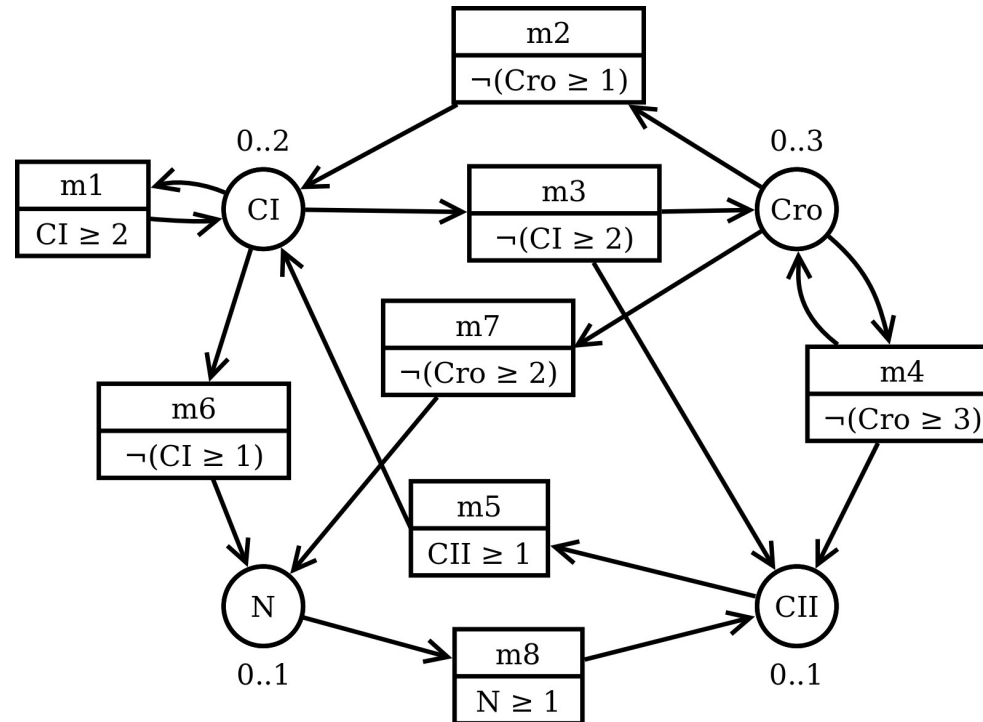


- $Inv \equiv a = 0 \wedge b = 0$

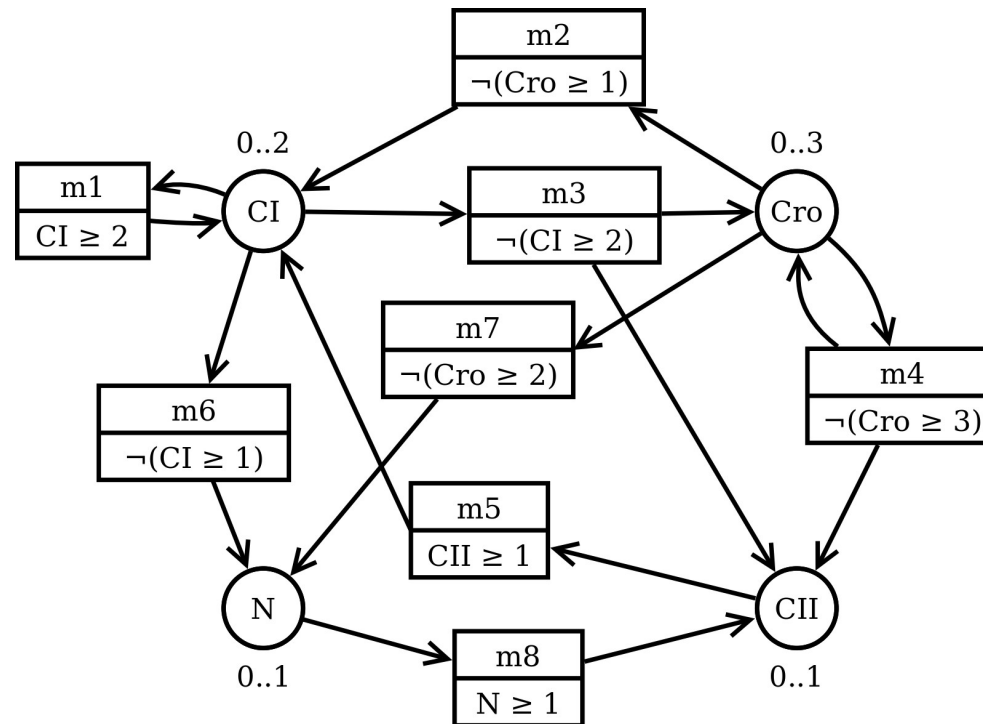
→ 2 solutions



Résultats complémentaires [3]



Résultats complémentaires [3]



330 225 942 528 possibilités
 → Dépassement de capacité

Conclusion sur OCaml

- Approche différente : recherche exhaustive
- Amené à évoluer
- Des résultats sur tous les types de programmes
- Les résultats sont en accord
avec les résultats obtenus sur papier
- Problème de l'explosion combinatoire

Discussion

Définition des environnements

Environnement = état du réseau de régulation

Coq :

- Listes de taille variable
Problème : définition trop lâche
- Listes de taille fixée
Problème : complexité supplémentaire

Ocaml :

- Listes d'association
→ Nécessitent d'être vérifiées

Discussion

Sémantique du langage impératif

Définit le comportement du langage de chemins

Coq : La sémantique est utilisée pour les preuves de complétude et correction

Problème : difficultés pour la définir
(indéterminisme)

OCaml : Pas de sémantique

Discussion

Complexité et explosion combinatoire

L'utilisation de la logique de Hoare permet d'éviter une partie de la complexité

Coq : Résultats sous forme de propriétés
→ En accord avec la théorie

OCaml : Recherche exhaustive de solutions
Problème : La complexité n'est pas contournée
→ Recréer un environnement de propriétés ?

Discussion

Composante temporelle

Coq : Nécessite une assurance de terminaison du programme étudié (variant décroissant)

Problème : Très difficile à implémenter

OCaml : Possibilité de lancer une récursion infinie

- Rapide sur des programmes simples
- Possibilités d'amélioration

Évolutions

Améliorations supplémentaires

- Rechercher de nouveaux exemples d'application

Coq :

- Solveur pour automatiser les simplifications
- Compléter la sémantique

OCaml :

- Problèmes de complexité (solveur)
- Faire le lien avec le format GINML

Conclusion

Modèle de Thomas : Modèle puissant mais difficile à étudier pour des graphes de grande taille

Logique de Hoare : Offre une nouvelle approche pour la déduction de paramètres biologiques

Deux implémentations :

Coq : Calcul des plus faibles pré-conditions
Nombreux obstacles, incomplet

OCaml : Recherche exhaustive

Explosion combinatoire, mais résultats

Merci pour votre attention

Bibliographie • Modèle de Thomas

- [1] A. Richard, J.-P. Comet, G. Bernot :
[R. Thomas' logical method.](#)
Avril 2008. Tutorials on modelling methods and tools : Modelling a genetic switch and Metabolic Networks, Spring School on Modelling Complex Biological Systems in the Context of Genomics.
- [2] G. Bernot, J.-P. Comet, Z. Khalis :
[Gene regulatory networks with multiplexes.](#)
European Simulation and Modelling Conference Proceedings, pages 423-432, France, octobre 2008.
- [3] A. Richard :
[Modèle formel pour les réseaux de régulation génétique & Influence des circuits de rétroaction.](#)
Thèse sous la direction de J.-P. Comet et G. Bernot.
Sections 5.4.2-5.4.4, pages 87-95, France, septembre 2006.

Bibliographie • Logique de Hoare

- [4] C. A. R. Hoare :
[An axiomatic basis for computer programming.](#)
Communications of the ACM, 12, pages 576–580, octobre 1969.
- [5] E. W. Dijkstra :
[Guarded commands, nondeterminacy and formal derivation of programs.](#)
Communications of the ACM, 18 :453–457, Aug. 1975.
- [6] Z. Khalis, G. Bernot, J.-P. Comet, A. Richard, O. Roux, H. Siebert : [A hoare logic to identify parameter values of discrete models of gene regulatory networks.](#)
Document de travail.